

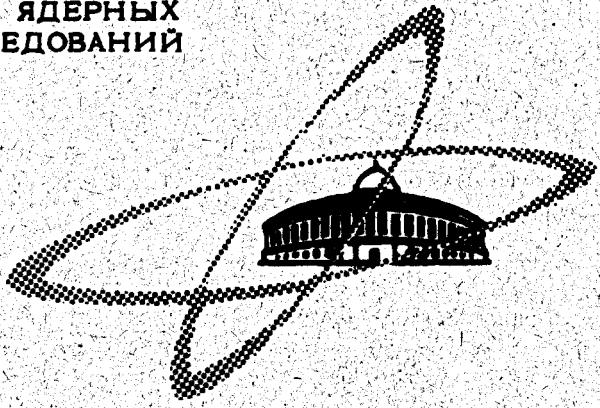
23/10-70

M-916

ОБЪЕДИНЕННЫЙ  
ИНСТИТУТ  
ЯДЕРНЫХ  
ИССЛЕДОВАНИЙ

Дубна.

P2 - 4887



М.М. Мусаханов

АБСОРПЦИЯ ЯДЕРНЫХ ПРОБЛЕМ

НИЗКОЭНЕРГЕТИЧЕСКАЯ ТЕОРЕМА АДЛЕРА  
И ДОТОНА И РАСПАДЫ  $\pi \rightarrow \pi e \nu \gamma$ ,  $K \rightarrow \pi e \nu \gamma$ ,  
 $\pi \rightarrow e^+ e^- e \nu$ ,  $K \rightarrow e^+ e^- e \nu$

1970

P2 - 4887

М.М. Мусаханов

НИЗКОЭНЕРГЕТИЧЕСКАЯ ТЕОРЕМА АДЛЕРА  
И ДОТАНА И РАСПАДЫ  $\pi \rightarrow \pi e \nu$ ,  $K \rightarrow \pi e \nu$ ,  
 $\pi \rightarrow e^+ e^- e \nu$ ,  $K \rightarrow e^+ e^- e \nu$

Направлено в ЯФ

Объединенный институт  
ядерных исследований  
БИБЛИОТЕКА

8208/2 up

## В в е д е н и е

Общие требования градиентной и релятивистской инвариантности позволяют связать амплитуду процесса с испусканием "мягких"  $\gamma$ -квантов с амплитудой процесса без испускания фотона. Как впервые было показано Лоу<sup>/1/</sup>, амплитуду с излучением фотона ( $\alpha \rightarrow \beta \gamma$ ) можно выразить через амплитуду без излучения ( $\alpha \rightarrow \beta$ ) с точностью до членов, пропорциональных первой степени импульса  $k$  испускаемого фотона (или электрон-позитронной пары).

Адлер и Дотан в интересной работе<sup>/2/</sup> рассмотрели возможность обобщения теоремы Лоу на матричные элементы полуплептонных процессов слабого взаимодействия. Они подчеркнули, что отправным пунктом в теореме Лоу является известное значение дивергенции электромагнитного тока, а не его сохранение. Такой подход позволяет использовать "частичное сохранение" аксиального тока (PCAC) в полуплептонных процессах для того, чтобы выразить матричный элемент аксиального тока ( $\alpha \rightarrow \beta e \nu$ ) через матричный элемент процесса ( $\alpha \rightarrow \beta$ ) и матричный элемент дивергенции аксиального тока. Адлер и Дотан показали, что это удастся сделать с точностью до членов  $Q$ , где  $Q$  - суммарный импульс лептонной пары. Для процессов ( $\alpha \rightarrow \beta e \nu$ ), обязанных комбинированному действию электромагнитного и слабого взаимодействий, оказывает-

ся возможным вычислить матричные элементы с точностью до членов порядка  $(kq)$ . В работе <sup>12/</sup> были намечены некоторые применения их общих результатов к различным физическим процессам.

Ниже рассмотрено применение теоремы Адлера и Догана к анализу процессов радиационных слабых распадов  $\pi^-$  и  $k^-$  мезонов.

1. Амплитуда общего процесса вида  $\alpha \rightarrow \beta \bar{e}(q_1) \nu(q_2) \gamma(k)$ , где  $\alpha$  и  $\beta$  - произвольные адронные состояния, включает амплитуду тормозного излучения электроном  $M^T$  (рис. 1) и амплитуду излучения адронами  $M^W$  (рис. 2,3)

$$M = M^T + M^W \quad (1)$$

В дальнейшем будем рассматривать только ту амплитуду, которая связана с излучением фотона адронами. Такое разбиение не является градиентно инвариантным. Градиентно инвариантной является полная амплитуда  $M$ .

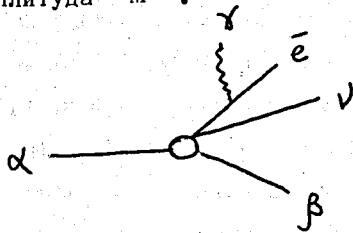


Рис. 1

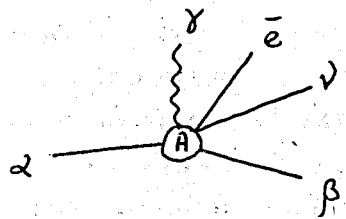


Рис. 2

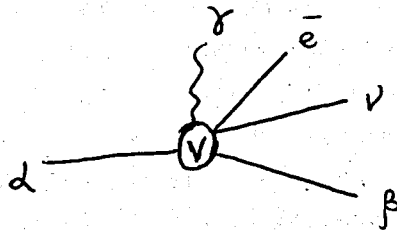


Рис. 3

Амплитуда  $M^w$  имеет вид:

$$M^w = \frac{G}{\sqrt{2}} \langle \beta \gamma(k) | I_\nu^w | \alpha \rangle \ell_\nu, \quad (2)$$

где  $I^w$  - сумма векторного тока  $I^v$  и аксиального тока  $I^A$ ,  
 $\ell_\nu = \bar{u}_e(q_1) \gamma_\nu (1 + \gamma_5) u_\nu(q_2)$ ,  $q_1 + q_2 = q$ . Матричный элемент  
 $\langle \beta \gamma(k) | I_\nu^w | \alpha \rangle$  можно записать в виде:

$$\langle \beta \gamma(k) | I_\nu^w | \alpha \rangle = e \epsilon_\mu M_{\mu\nu}^w. \quad (3)$$

Требование градиентной инвариантности означает, что замена  
 $\epsilon_\mu \rightarrow k_\mu$  в  $M$  должна обращать получающееся при этом выражение  
 в нуль. Это приводит к тому, что

$$k_\mu \ell_\nu M_{\mu\nu}^w = -\langle \beta | I_\nu^w | \alpha \rangle \ell_\nu. \quad (4)$$

Для вычисления  $\epsilon_\mu q_\nu M_{\mu\nu}^w$  используем РСАС  $\Delta S = 0$   
 и принцип минимальности электромагнитного взаимодействия. Тогда  
 в присутствии электромагнитного поля  $A_\mu$ :

$$\partial_\mu I_\mu^v = ie A_\mu I_\mu^v, \quad (5)$$

$$\partial_\mu I_\mu^A = ie A_\mu I_\mu^A + f_\pi \frac{m_\pi^2}{\pi} \phi_\pi +$$

Используя (5) и (3), получаем

$$\epsilon_{\mu\nu} q_{\nu} M_{\mu\nu}^W = \epsilon_{\mu} \langle \beta | I_{\mu}^W | \alpha \rangle + \frac{m^2}{q^2 - m^2} \frac{f_{\pi}}{\pi} \epsilon_{\mu} M_{\mu}^W, \quad (6)$$

где  $\epsilon_{\mu} M_{\mu}^W \equiv i \epsilon_{\mu} \langle \beta | \pi(q) | I_{\mu}^{em} | \alpha \rangle$  - амплитуда процесса  $\alpha \rightarrow \beta \pi(q) \gamma(k)$ .

Отметим, что (4) и (6) можно получить, если рассматривать величину  $M_{\mu\nu}^W = i \int d^4x e^{ikx} \langle \beta | T \{ I_{\mu}^{em}(x), I_{\nu}^W(0) \} | \alpha \rangle$ , а при вычислении  $k_{\mu} M_{\mu\nu}^W$  и  $q_{\nu} M_{\mu\nu}^W$  воспользоваться PCAC и одновременными коммутаторами:

$$\begin{aligned} \delta(x_0) [I_0^{em}(x), I_{\mu}^W(0)] &= -\delta^4(x) I_{\mu}^W(0), \\ \delta(x_0) [I_{\mu}^W(x), I_0^{em}(0)] &= \delta^4(x) I_{\mu}^W(0) \end{aligned}$$

в соответствии с /2/ и /3/.

2.  $\pi \rightarrow \pi e \nu \gamma$ ,  $k \rightarrow \pi e \nu \gamma$  распады. Используя (6), вычислим аксиальную часть матричного элемента для процесса  $\pi^+(p) \rightarrow \pi^0(p') e^+(q_1) \nu(q_2) \gamma(k)$ . С учётом (4) общий вид матричного элемента можно представить в виде:

$$\begin{aligned} M_{\mu\nu}^A &= \epsilon_{\mu\nu\rho\sigma} k_{\rho} [(p+p')_{\sigma} \Phi_1 + q_{\sigma} \Phi_2] + \\ &+ \epsilon_{\mu\rho\sigma\lambda} k_{\rho} p_{\sigma} p'_{\lambda} [(p+p')_{\nu} \Phi_2 + (p-p')_{\nu} \Phi_3 + q_{\nu} \Phi_4] \end{aligned} \quad (7)$$

Для рассматриваемого процесса общее соотношение (6) обращается в

$$\epsilon_{\mu\nu} q_{\nu} M_{\mu\nu}^A = \frac{m^2}{q^2 - m^2} \frac{f_{\pi}}{\pi} \epsilon_{\mu} M_{\mu}^A, \quad (8)$$

т.к.  $\langle \pi | I_{\mu}^A | \pi \rangle = 0$ . В(8)  $M_{\mu} = \epsilon_{\mu\nu\rho\sigma} k_{\nu} p_{\rho} p'_{\sigma} F$  - амплитуда  $\gamma - 3\pi$  взаимодействия /4/. Сравнивая (7) и (8) находим, что

$$2\Phi \Big|_{q=0} = -f_{\pi} F \Big|_{q=0} \quad (9)$$

и  $F \Big|_{q=0} = e^{-1} \frac{C_{\pi}}{m_{\pi}^3}$ , где константа  $C_{\pi}$  экспериментально определяется /4/ при изучении реакции  $\pi p \rightarrow \pi \gamma N$  путем выделения вклада  $\pi$  - мезонной полюсной диаграммы.

Таким образом,

$$\Phi \Big|_{q=0} = -\frac{1}{2} e^{-1} \frac{C_{\pi}}{m_{\pi}^3} \quad (10)$$

и с точностью до членов первого порядка по  $q$  аксиальная часть матричного элемента  $\pi \rightarrow \pi e \nu \gamma$  распада

$$M_{\mu\nu}^A = -\frac{1}{2} e \frac{f_{\pi} C_{\pi}}{m_{\pi}^3} \epsilon_{\mu\nu\rho\sigma} k_{\rho} (p + p')_{\sigma} + O(q). \quad (11)$$

Аналогично, используя PCAC с  $\Delta s = 1$ , можно показать, что аксиальная часть матричного элемента процесса

$$K^+(p) \rightarrow \pi^0(p') e^+(q_1) \nu(q_2) \nu(k), \quad (12)$$

$$M_{\mu\nu}^A = -\frac{1}{2} e^{-1} \frac{f_K C_K}{m_K^3} \epsilon_{\mu\nu\rho\sigma} k_{\rho} (p + p')_{\sigma} + O(q)$$

Константа  $C_K$  может быть измерена при исследовании реакции  $\pi N \rightarrow K \gamma \Lambda$ , где необходимо выделить вклад  $K$  - мезонного полюса. Другой возможностью является исследование образования  $\pi$  -мезоном  $K \bar{K}$  пар в кулоновском поле ядра.

$$3. \text{ Распады } \pi^+(p) \rightarrow e^+(k_1) e^-(k_2) e^+(q_1) \nu(q_2),$$

$$K^+(p) \rightarrow e^+(k_1) e^-(k_2) e^+(q_1) \nu(q_2).$$

Рассмотрим первый из них. Матричный элемент аксиального тока (рис. 4,5) имеет вид:

$$M^A = \frac{eG}{\sqrt{2}} \{ \epsilon_{\mu} (k_1, k_2) \ell_{\nu} (q_1, q_2) M_{\mu\nu}^A (k_1 + k_2, q_1 + q_2) - (k_1, q_1) \}, \quad (13)$$

где

$$\epsilon_{\mu} (k_1, k_2) = \frac{1}{(k_1 + k_2)^2} \bar{u}(k_2) \gamma_{\mu} u(k_1)$$

$$\ell_{\nu} (q_1, q_2) = \bar{u}(q_2) \gamma_{\nu} (1 + \gamma_5) u(q_1).$$

Наиболее общий вид  $\epsilon_{\mu} \ell_{\nu} M_{\mu\nu}^A$ :

$$\epsilon_{\mu} \ell_{\nu} M_{\mu\nu}^A (k, q) = -f_{\pi} \left\{ - \frac{M_{\mu} (k, q) q_{\nu}}{q^2 - m_{\pi}^2} + \delta_{\mu\nu} + \right. \quad (14)$$

$$+ a (k^2, q^2) [ (kq) \delta_{\mu\nu} - q_{\mu} k_{\nu} ] + a_1 (k^2, q^2) (k^2 \delta_{\mu\nu} - k_{\mu} k_{\nu}) +$$

$$+ A (k^2, q^2) [ k^2 q_{\mu} q_{\nu} - (kq) k_{\mu} q_{\nu} ] \} \epsilon_{\mu} \ell_{\nu}$$



получен применением условия(4). Первое слагаемое содержит электро-магнитную вершину  $\pi$  -мезона:

$$M_{\mu}^A(k, q) = F_{\pi}(k^2, q^2)(2q+k)_{\mu} + g_{\pi}(l^2, q^2) k_{\mu}. \quad (15)$$

При вычислении  $k_{\nu}^{\ell} M_{\mu\nu}^A$  необходимо учесть тождество Уорда-Такахаши в форме  $\frac{1}{5} \nu$ :

$$(q^2 - m_{\pi}^2) F_{\pi}(k^2, q^2) - k^2 g_{\pi}(k^2, q^2) = q^2 - m_{\pi}^2 \quad (16)$$

$a(k^2, q^2)$ ,  $a_1(k^2, q^2)$ ,  $A(k^2, q^2)$  - форм-факторы, которые нельзя определить с помощью(4). Отметим, что эти форм-факторы не содержат полюса в точке  $q^2 = m_{\pi}^2$ . Согласно(6),

$$\epsilon_{\mu\nu} q_{\nu} M_{\mu\nu}^A = f_{\pi} [(\epsilon q) + \frac{m_{\pi}^2}{q^2 - m_{\pi}^2} \epsilon_{\mu} M_{\mu}^A] \quad (17)$$

где в качестве  $M_{\mu}^A$  следует взять(15). С другой стороны подставляя в(14)  $q_{\nu}$  вместо  $\ell_{\nu}$ , получим

$$\begin{aligned} \epsilon_{\mu\nu} q_{\nu} M_{\mu\nu}^A &= -f_{\pi} \left\{ -\frac{q^2}{q^2 - m_{\pi}^2} \epsilon_{\mu} M_{\mu}^A + \right. \\ &\left. + (\epsilon q) \cdot [k^2 a(l^2, q^2) + k^2 q^2 A(k^2, q^2)] \right\}. \end{aligned} \quad (18)$$

Сравнивая (17) и (18) и учитывая (15), приходим к равенству

$$\begin{aligned} 1 + k^2 a_1(k^2, q^2) + k^2 q^2 A(k^2, q^2) &= \\ &= 2 F_\pi(k^2, q^2) - 1. \end{aligned} \quad (19)$$

При  $k^2 = 0$ ,  $F_\pi(0, q^2) = 1$ , что находится в соответствии с (16). При  $q^2 = 0$

$$1 + k^2 a_1(k^2, 0) = 2 F_\pi(k^2, 0) - 1. \quad (20)$$

Зависимость форм-факторов  $a$ ,  $a_1$ ,  $A$  в (14) от  $q^2$  можно оценить с помощью полюсной диаграммы от аксиального векторного мезона  $A_1(1080)$ . Так как в нашем случае  $q_{\max}^2 = m_\pi^2$ , то такая оценка указывает на то, что  $a_1(k^2, q^2) = a_1(k^2, 0)$  с точностью  $\leq \frac{m_\pi^2}{m_{A_1}^2} = 2\%$ .

Форм-фактор  $a(k^2, q^2)$  с помощью (6) определить не удастся, так как третье слагаемое в (14) пропорционально  $(kq)$ . Однако существуют как экспериментальные, так и теоретические оценки для  $a$  /8/.

Таким образом выражение (14) с учётом требований градиентной инвариантности и точного PCAC с  $\Delta s = 0$  принимает вид:

$$\begin{aligned} \epsilon_\mu \ell_\nu M_{\mu\nu}^A &= -f_\pi \left\{ -F_\pi(k^2, q^2) \frac{2(\epsilon q)(\ell q)}{q^2 - m_\pi^2} + \right. \\ &+ a [(\epsilon \ell)(kq) - (\epsilon q)(\ell k)] + \\ &+ \left. [2 F_\pi(k^2, 0) - 1] (\epsilon \ell) + 0 \left( \frac{q^2}{m_{A_1}^2} \right) \right\}. \end{aligned} \quad (21)$$

Матричный элемент векторного тока (рис. 6) определяется по аналогии с (13). Требования (4) и (6) приводят к

$$k_{\mu} \ell_{\nu} M_{\mu\nu}^{\nu} = \epsilon_{\mu} q_{\nu} M_{\mu\nu}^{\nu} = 0, \quad (22)$$

т.к.  $\langle 0 | I_{\mu}^{\nu} | \pi \rangle = 0$ . Уравнение (22) означает, что для нахождения  $\epsilon_{\mu} \ell_{\nu} M_{\mu\nu}^{\nu}$  можно воспользоваться гипотезой сохранения векторного тока (CVC). Это позволяет связать матричный элемент векторного тока (рис. 6) с амплитудой  $\pi^0 \rightarrow \gamma e^+ e^-$ .

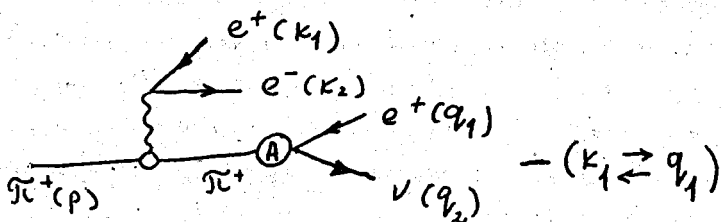


Рис. 4

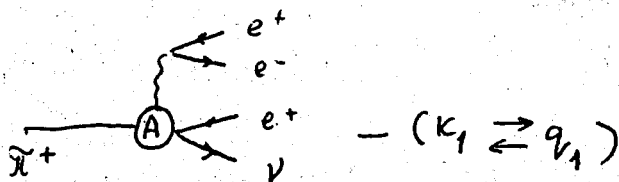


Рис. 5

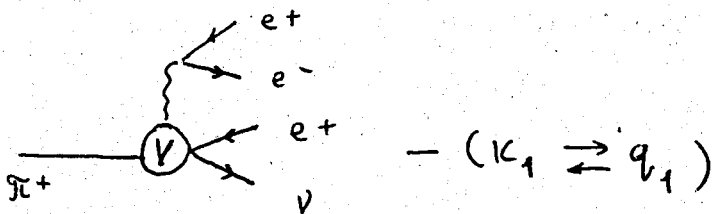


Рис. 6

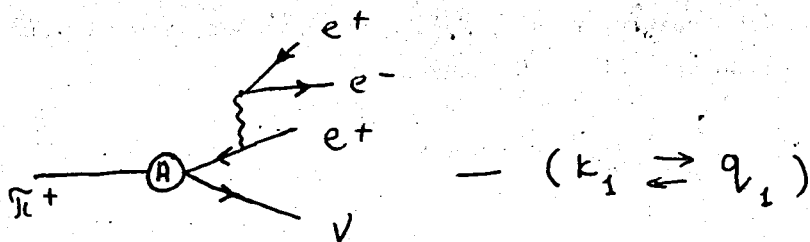


Рис. 7

Диаграмма (рис. 7) учитывается с помощью обычных правил квантовой электродинамики. Таким образом, амплитуда  $\pi^+ \rightarrow e^+ e^- e^+ \nu$  известна с точностью до  $O\left(\frac{q^2}{m^2}\right) \approx \frac{m_\pi^2}{m^2} = 2\%$ , при предположении точного PCAC и CVC. Это позволяет, по крайней мере в принципе, определить электромагнитный форм-фактор  $\pi$ -мезона  $F_\pi$  в области  $0 \leq k^2 \leq m_\pi^2$ . Эту область значений  $k^2$  нельзя достигнуть ни при изучении  $e\pi$  рассеяния, ни в процессе  $e^+ e^- \rightarrow \pi^+ \pi^-$ . Точно таким же образом можно определить матричный элемент аксиального тока для  $K^+(p) \rightarrow e^+(k_1) e^-(k_2) e^+(q_1) \nu(q_2)$ , где нужно применить PCAC с  $\Delta s = 1$ . Аналогично тому, как были получены (14) и (21), получаем

$$M^A = \frac{eG}{\sqrt{2}} \{ \epsilon_\mu(k_1, k_2) \ell_\nu(q_1, q_2) M_{\mu\nu}^A(k_1 + k_2, q_1 + q_2) - (k_1 \rightarrow q_1) \} \quad (23)$$

$$\begin{aligned}
 \epsilon_\mu \ell_\nu M_{\mu\nu}^A = & -f_k \{ -F_k(k^2, q^2) \frac{2(\epsilon q)(\ell q)}{q^2 - m_k^2} + a_k [(\epsilon \ell)(kq) - (\epsilon q)(\ell k)] \\
 & + [2F_k(k^2, 0) - 1] (\epsilon \ell) + O(q^2) \}. \quad (24)
 \end{aligned}$$

Для процессов распада  $\pi^+ \rightarrow e^+ e^- \mu^+ \nu$  и  $K^+ \rightarrow e^+ e^- \mu^+ \nu$  антисимметризацию по заряженным лептонам не нужно проводить.

Тогда (13) и (23) переходят в

$$M^A = \frac{eG}{\sqrt{2}} \epsilon_\mu(k_1, k_2) \ell_\nu(q_1, q_2) M_{\mu\nu}^A(k_1 + k_2, q_1 + q_2), \quad (25)$$

где  $\epsilon_\mu \ell_\nu M_{\mu\nu}^A$  берется соответственно либо (21), либо (24).

В заключение автор благодарит Л.И.Лапидуса за поддержку и неоднократные обсуждения работы, а также Д.Ю.Бардина, А.В.Тарасова и Н.М.Шумейко за обсуждение результатов.

#### Л и т е р а т у р а

1. F.L. Low. Phys. Rev., 110, 974 (1959).
2. S.L. Adler, Y. Dothan. Phys. Rev., 151, 1274 (1966).
3. M. Gell-Mann Physics, 1, 63 (1964).
4. В.А. Мещеряков, Л.Л. Неменов, Л.Д. Соловьев, П. Строкач, Ф.Г. Ткебучава. ЯФ, 2, 124 (1965).
5. Г. Бартон. "Дисперсионные методы в теории поля", стр. 196, Атомиздат, 1968.
6. В.С. Березинский, ЯФ, 8, 1208 (1968).
- P. Depomier, Y. Heintze, C. Rubbia, V. Soergel. Phys. Lett., 7, 285 (1963).

Рукопись поступила в издательский отдел

8 января 1970 года.